

الْمُعَذَّبُ



دانشکده فنی و مهندسی

پایان نامه کارشناسی ارشد رشته مهندسی پزشکی - گرایش بیوالکتریک

عنوان پایان نامه

به کارگیری روش CSP در استخراج ویژگی از سیگنال EEG جهت کاربرد در
سیستمهای BCI

استاد راهنما

دکتر محمد میکائیلی

نگارش

فاطمه جمالو

شهریور ۱۳۹۱

تقدیم به او

که خواهد آمد و ...

تقدیر و تشکر

اکنون که با استعانت از ذات اقدس بادی تعالیٰ کار تهیه و تدوین این تحقیق به اتمام رسیده .
وظیفه خود می دانم از تمامی بزرگوارانی که در نگارش این رساله من را یاری دادند تشکر و
قدرتانی نمایم:

بدین وسیله از راهنمایی های استاد راهنمای پژوهش . جناب آقای دکتر میکائیلی تشکر می نمایم.
و در پایان مراتب سپاس خود را به تمامی کسانی که به هر طریقی در این تحقیق من را یاری
نمودند . تقدیم نموده و برای همه عزیزان توفیق دروز افزون مسأله دارم.

چکیده

تعامل انسان- کامپیوتر^۱ وسیله ای برای ایجاد یک کanal ارتباطی است که مقاصد انسان را که در سیگنال های مغزی مانند^۲ EEG منعکس می شود، به فرمان های کنترلی تبدیل می کند. مؤلفه ای که در سیگنال EEG بیشتر از همه برای تمایز بین حالت های ذهنی به کار می رود، پتانسیل های وابسته به رخداد^۳ است که تغییرات در توان طیفی سیگنال های مربوط به فرآیندهای وابسته به حرکت را مورد بررسی قرار می دهد. تصور یا انجام حرکت منجر به یک تضعیف کوتاه مدت به نام آسنکرون شدن وابسته به رویداد^۴ در مؤلفه های EEG در باندهای α و β می شود. چنین تصور حرکاتی که موجب تغییر در ریتم های مغزی ناحیه مربوط به حرکت می شود به عنوان وسیله ای برای ایجاد ارتباط در افراد با اختلالات شدید حرکتی معرفی شده است. با این دیدگاه که ریتم های ناحیه مربوط به حرکت از نواحی بسیار متمرکز در ناحیه قشری منشأ می گیرد، سیگنال همه الکترودها برای کلاس بندی اطلاعات یکسانی ندارند. نتیجتاً سیگنال الکترودهای مختلف باید به گونه ای وزن دهی شوند تا ارزششان برای کار کلاس بندی مشخص شود. روش الگوهای مکانی مشترک^۵ بر مبنای تجزیه سیگنال های خام EEG در دو کلاس به الگوهای مکانی است به گونه ای که تفاوت آنها را ماقریم کند. اعمال این الگوهای مکانی به سیگنالها، مجموعه ای از الکترودهای وزن دهی شده را فراهم می کند که مستقیماً از خود داده بدست آمده اند. اگرچه اعمال CSP به EEG فیلتر نشده و یا فیلتر شده اما با انتخاب باندهای فرکانسی ضعیف، صحت تشخیص ضعیفی را نتیجه می دهد.

در این تحقیق، به منظور یافتن باند فرکانسی حاوی بیشترین اطلاعات متمایزکننده در روش CSP در دو کلاس تصور حرکت ، سیگنال های EEG با استفاده از فیلتر بانک به زیرباندهایی تجزیه شده و ماتریس وزن CSP در هر کدام از زیر باندها جداگانه استخراج شده است. سپس برطبق اطلاعات جداکننده بدست آمده از سیگنال های فیلترشده مکانی، دو زیرباند بهینه انتخاب شده و بعد از وزن دهی ویژگی ها در این دو زیرباند توسط روش DSLVQ^۶ ، با استفاده از کلاس بند^۷ SVM کلاس بندی شده اند. مقایسه نتایج بدست آمده از این روش با روش متداول CSP، حاکی از بهبود ۷۶/۷٪ در صحت کلاس بندی داده های تست می باشد.

کلمات کلیدی: EEG، تعامل انسان- کامپیوتر، فیلترهای مکانی، SVM، DSLVQ

¹ Brain- Computer Interface

² Electro Encephalo Geram

³ Event Related Potential

⁴ Event Related Desynchronization

⁵ Common Spatial Pattern

⁶ Distinction Sensitive Learning Vector Quantization

⁷ Support Vector Machine

فهرست مطالب

۱.....	فصل اول : مقدمه
۱.....	۱-۱-بیان مسئله.....
۲.....	۱-۱-ضرورت انجام پایان نامه
۲.....	۱-۲-ساختار پایان نامه
۴.....	فصل دوم : مقدمه ای بر سیگنال های مغزی و ارتباط انسان - کامپیوتر.....
۴.....	۲-۱-الکتروانسفالوگرام (EEG)
۵.....	۲-۱-۱- تاریخچه الکتروانسفالوگرافی
۶.....	۲-۱-۲- منشأ سیگنال
۹.....	۲-۱-۳- ساختار مغز
۱۰.....	۲-۱-۴- بررسی پتانسیل های مغزی در حوزه فرکانس (ریتم های مغزی).....
۱۳.....	۲-۱-۵- مکان الکترودهای ثبت EEG
۱۳.....	۲-۲- پتانسیل واپسی به رخداد
۱۴.....	۲-۳- ارتباط انسان - کامپیوتر
۱۸.....	۲-۳-۱- رابط مغز کامپیوتر برلین (BBCI)
۱۹.....	۲-۳-۲- خلاصه فصل
۲۰.....	فصل سوم : استخراج و ارزیابی ویژگی ها و ساختار طبقه بندی کننده
۲۰.....	۳-۱- الگوریتم CSP و کاربرد آن در پردازش سیگنال های مغزی
۲۹.....	۳-۱-۱- روش الگوهای مکانی مشترک پراکنده (CSSP)
۳۲.....	۳-۱-۲- الگوهای مکانی مشترک زیرباند (SBCSP)
۳۵.....	۳-۱-۳- روش الگوهای مکانی مشترک با فیلتر بانک ثابت (FBCSP)
۳۹.....	۳-۱-۴- روش الگوهای مکانی مشترک با فیلتر بانک مجزا برای هر فرد (DFBCSP)
۴۰.....	۳-۱-۵- روش الگوهای مکانی مشترک مجزا با پنجره لغزان (SWDCSP)
۴۲.....	۳-۲- الگوریتم DSLVQ و کاربرد آن در وزن دهی ویژگی ها
۴۳.....	۳-۲-۱- کلاس بند نزدیکترین همسایه (NN)
۴۴.....	۳-۲-۲- کلاس بند LVQ
۴۶.....	۳-۲-۳- الگوریتم DSLVQ
۴۷.....	۳-۳- الگوریتم طبقه بندی ماشین بردار پشتیبان
۴۸.....	۳-۳-۱- ماشینهای بردار پشتیبان خطی

۵۰	۲-۳-۳- ماشینهای بردار پشتیبان غیر خطی.....
۵۰	۴-۳- خلاصه فصل
۵۲	فصل چهارم : نتایج و یافته ها
۵۲	۱-۴- معرفی دادگان
۵۳	۲-۴- پیش پردازش دادگان
۵۴	۳-۴- استخراج ویژگی توسط روش CSP
۶۳	۴-۴- انتخاب ویژگی توسط روش پیشنهادی در این تحقیق
۶۸	۴-۴- وزن دهی ویژگی های انتخاب شده توسط روش DSLVQ
۸۲	۴-۶- کلاس بندی ویژگی ها توسط روش ماشین بردار پشتیبان
۸۵	۷-۴- خلاصه فصل
۸۶	فصل پنجم : نتیجه گیری و پیشنهادات
۸۶	۱-۵- نتیجه گیری
۸۸	۲-۵- پیشنهادات
۸۹	مراجع

فهرست اشکال

شکل ۱: نحوه اثر پتانسیل‌های پیش‌سیناپسی در پتانسیل پس‌سیناپسی (شکل A) و چگونگی جابجایی یونی آن (شکل B)	۷
شکل ۲: دو نما از قسمت‌های مختلف قشر مغزی و اعمال منتبه به آن‌ها	۱۰
شکل ۳: محل قرارگیری الکتروودها در استاندارد ۱۰ - ۲۰	۱۳
شکل ۴: بلوک دیاگرام یک سیستم BCI	۱۴
شکل ۵: الف) تابع وزن استفاده شده برای وزن‌دار کردن سیگنال b) دقت طبقه بندی سیگنال‌های EEG و EMG بر اساس فاصله آخرین لحظه سیگنال تا زمان انجام حرکت.....	۱۹
شکل ۶: نحوه جداسازی داده‌های دو کلاس توسط روش CSP	۲۴
شکل ۷: مهمترین (ردیف بالا) و دومین (ردیف پایین تر) الگوهای مکانی متداول برای تمایز بین حرکت انگشت دست چپ از انگشت دست راست	۲۵
شکل ۸: بلوک دیاگرام روش CSP	۲۷
شکل ۹: مقایسه‌ای از صحت کلاس بندی فیلترهای مکانی مختلف.....	۲۹
شکل ۱۰: پاسخ‌های بزرگی فیلتر FIR برای مقادیر مختلف (τ) . مینیمم ها نشان‌دهنده فرکانس‌هایی است که اطلاعات طیفی شان حذف می‌شود	۳۱
شکل ۱۱: پاسخ بزرگی فیلترهای FIR برای مقادیر مختلف ۲. با افزایش ۲ گویا باند فرکانسی به زیر باندهایی تقسیم می‌شود	۳۲
شکل ۱۲: فلوچارت سیستم	۳۲
شکل ۱۳: دیاگرام روش RBE	۳۴
شکل ۱۴: دیاگرام روش متا-کلاس بند	۳۵
شکل ۱۵: بلوک دیاگرام روش DFBCSP	۳۹
شکل ۱۶: بلوک دیاگرام روش SWDCSP	۴۰
شکل ۱۷: نحوه کلاس بندی نزدیک‌ترین همسایه	۴۴
شکل ۱۸: ماشین بردار پشتیبان در حالتی که داده‌ها جدایزیر خطی هستند (الف) و جدایزیر خطی نیستند (ب)	۵۰
شکل ۱۹: پاسخ فرکانسی فیلترهای مورد استفاده در روش CSP و دارای زیرباند	۵۴
شکل ۲۰: واریانس داده‌های آموزش برای کانال‌های C3,C4 قبل از اعمال ماتریس وزن CSP به آنها	۵۵
شکل ۲۱: واریانس سطر اول و آخر داده‌های آموزش را بعد از اعمال ماتریس وزن CSP به آنها	۵۵
شکل ۲۲: واریانس داده‌های آموزش برای کانال‌های C3,C4 قبل از اعمال ماتریس وزن CSP به آنها در ۶ زیرباند	۵۷
شکل ۲۳: واریانس سطر اول و آخر داده‌های آموزش را بعد از اعمال ماتریس وزن CSP به آنها در ۶ زیرباند برای فرد 'aa' ..	۵۸
شکل ۲۴: واریانس سطر اول و آخر داده‌های آموزش را بعد از اعمال ماتریس وزن CSP به آنها در ۶ زیرباند برای فرد 'al' ...	۵۹
شکل ۲۵: واریانس سطر اول و آخر داده‌های آموزش را بعد از اعمال ماتریس وزن CSP به آنها در ۶ زیرباند برای فرد 'av' ..	۶۰
شکل ۲۶: واریانس سطر اول و آخر داده‌های آموزش را بعد از اعمال ماتریس وزن CSP به آنها در ۶ زیرباند برای فرد 'aw' ..	۶۱
شکل ۲۷: واریانس سطر اول و آخر داده‌های آموزش را بعد از اعمال ماتریس وزن CSP به آنها در ۶ زیرباند برای فرد 'ay' ..	۶۲

شکل ۲۸: موقعیت اولیه (نقاط آبی و قرمز ستاره ای) و نهایی (نقاط آبی و قرمز دایره ای) بردارهای مرجع برای فرد 'aa' در زیرباندهای منتخب. در این حالت بردارهای مرجع در دو کلاس بیشترین فاصله را از یکدیگر دارند. ۶۹

شکل ۲۹: موقعیت اولیه (نقاط آبی و قرمز ستاره ای) و نهایی (نقاط آبی و قرمز دایره ای) بردارهای مرجع برای فرد 'aa' در زیرباندهای منتخب. در این حالت بردارهای مرجع در دو کلاس کمترین فاصله را از یکدیگر دارند. ۷۱.....

شکل ۳۰: موقعیت اولیه (نقاط آبی و قرمز ستاره ای) و نهایی (نقاط آبی و قرمز دایره ای) بردارهای مرجع برای فرد 'aa' در زیرباندهای منتخب. در این حالت بردارهای مرجع در دو کلاس فاصله ای مابین دو فاصله قبلی را یکدیگر دارند. ۷۱

شکل ۳۱: موقعیت اولیه (نقاط آبی و قرمز ستاره ای) و نهایی (نقاط آبی و قرمز دایره ای) بردارهای مرجع برای فرد 'al' در زیرباندهای منتخب. در این حالت بردارهای مرجع در دو کلاس بیشترین فاصله را از یکدیگر دارند. ۷۲.....

شکل ۳۲: موقعیت اولیه (نقاط آبی و قرمز ستاره ای) و نهایی (نقاط آبی و قرمز دایره ای) بردارهای مرجع برای فرد 'al' در زیرباندهای منتخب. در این حالت بردارهای مرجع در دو کلاس، کمترین فاصله را از یکدیگر دارند. ۷۳

شکل ۳۳: موقعیت اولیه (نقاط آبی و قرمز ستاره ای) و نهایی (نقاط آبی و قرمز دایره ای) بردارهای مرجع برای فرد 'ا' در زبانهای منتخب. در این حالت بردارهای مرجع دو کلاس، فاصله ای مابین دو فاصله قبلی، از بکدیگ دارند. ۷۳

شکل ۳۴: موقعیت اولیه (نقاط آبی و قرمز ستاره ای) و نهایی (نقاط آبی و قرمز دایره ای) بردارهای مرجع برای فرد 'av' در زبانهای منتخب. در این حالت بردارهای مرجع د، ده کلاس بیشترین فاصله، از یکدیگر دورند. ۷۴

شکل ۳۵: موقعیت اولیه (نقاط آبی و قرمز ستاره ای) و نهایی (نقاط آبی و قرمز دایره ای) بردارهای مرجع برای فرد 'av' در زباندهای منتخب. د، این حالت برداهای مرجع د، ده کلاس، کمترین فاصله، ای: یکدیگ دا،ند. ۷۵.....

شکل ۳۶: موقعیت اولیه (نقط آبی و قرمز ستاره ای) و نهایی (نقط آبی و قرمز دایره ای) بردارهای مرجع برای فرد 'av' در زباندهای منتخب. د، ا: حالت بدراه، مرجع د، ده کلاس، فاصله ا، مابن: ده فاصله قبل از بکدیگ داند.... ۷۵

شکل ۳۷: موقعیت اولیه (نقاط آبی و قرمز ستاره ای) و نهایی (نقاط آبی و قرمز دایره ای) بردارهای مرجع برای فرد 'aw' در زبانهای مختلف، در این حالت بردارهای مرجع در دو کلاس داشته‌اند: فاصله نازک (نگاه دارند) و بزرگ (نگاه نمی‌دارند).

شکل ۳۸: موقعیت اولیه (نقاط آبی و قرمز ستاره ای) و نهایی (نقاط آبی و قرمز دایره ای) بردارهای مرجع برای فرد 'aw' در زبانهای مختلف، در این حالت بردارهای مرجع دو کلاس کمتر، فام اف ایز کدیگ داند.

شکل ۳۹: موقعیت اولیه (نقاط آبی و قرمز ستاره ای) و نهایی (نقاط آبی و قرمز دایره ای) بردارهای مرجع برای فرد 'aw' در نیازهای منتهی دارنده حالت داده ها و کلا فلم ادامه دارند. نکریگ دانز ۷۷

شکل ۴۰: موقعیت اولیه (نقاط آبی و قرمز ستاره ای) و نهایی (نقاط آبی و قرمز دایره ای) بردارهای مرتع برابر فرد 'ay' در نزد اهلاء متناسب با حالت داده شده در کلاس شتن فلایل از کنگ دان

شکل ۴۱: موقعیت اولیه (نقاط آبی) و قرمز ستاره ای) و نهایی (نقاط آبی و قرمز دایره ای) بردارهای مرجع برای فرد 'ay' در نزد اندام نخنچه دار. مطالعه کلاسیک تئوری مدلینگ دانسته است که این دو نوع بردارها ممکن است متقابل باشند.

شکل ۴۲: موقعیت اولیه (نقاط آبی و قرمز ستاره ای) و نهایی (نقاط آبی و قرمز دایره ای) بردارهای مرجع برای فرد 'ay' در زمانهای مختلف

شکل ۴۳: بردارهای پشتیبان فرد 'aa' با دوازده سیاه نشان داده شده اند..... ۸۲

سین ۱۱: برآمدی پسیوپیان گرد آن ب دوایر سینه سین دادند سینه اند

- شکل ۴۵: بردارهای پشتیبان فرد 'av' با دوایر سیاه نشان داده شده اند ۸۳
- شکل ۴۶: بردارهای پشتیبان فرد 'aw' با دوایر سیاه نشان داده شده اند ۸۴
- شکل ۴۷: بردارهای پشتیبان فرد 'ay' با دوایر سیاه نشان داده شده اند ۸۴

فهرست جداول

جدول ۱: معیارهای بدست آمده برای میزان جدایی ویژگی ها در زیرباندهای مختلف برای فرد 'aa'	۶۴
جدول ۲: میزان صحت کلاس بندی داده های فرد 'aa' در ترکیب دو به دوی زیرباندها	۶۴
جدول ۳: معیارهای بدست آمده برای میزان جدایی ویژگی ها در زیرباندهای مختلف برای فرد 'al'	۶۵
جدول ۴: میزان صحت کلاس بندی داده های فرد 'al' در ترکیب دو به دوی زیرباندها	۶۵
جدول ۵: معیارهای بدست آمده برای میزان جدایی ویژگی ها در زیرباندهای مختلف برای فرد 'av'	۶۶
جدول ۶: میزان صحت کلاس بندی داده های فرد 'av' در ترکیب دو به دوی زیرباندها	۶۶
جدول ۷: معیارهای بدست آمده برای میزان جدایی ویژگی ها در زیرباندهای مختلف برای فرد 'aw'	۶۷
جدول ۸: میزان صحت کلاس بندی داده های فرد 'aw' در ترکیب دو به دوی زیرباندها	۶۷
جدول ۹: معیارهای بدست آمده برای میزان جدایی ویژگی ها در زیرباندهای مختلف برای فرد 'ay'	۶۸
جدول ۱۰: میزان صحت کلاس بندی داده های فرد 'ay' در ترکیب دو به دوی زیرباندها	۶۸
جدول ۱۱: وزن های اختصاص یافته توسط الگوریتم DLSVQ و صحت کلاس بندی در سه حالت بردارهای مرجع اولیه برای فرد 'aa'	۷۰
جدول ۱۲: وزن های اختصاص یافته توسط الگوریتم DLSVQ و صحت کلاس بندی در سه حالت بردارهای مرجع اولیه برای فرد 'al'	۷۲
جدول ۱۳: وزن های اختصاص یافته توسط الگوریتم DLSVQ و صحت کلاس بندی در سه حالت بردارهای مرجع اولیه برای فرد 'av'	۷۴
جدول ۱۴: وزن های اختصاص یافته توسط الگوریتم DLSVQ و صحت کلاس بندی در سه حالت بردارهای مرجع اولیه برای فرد 'aw'	۷۶
جدول ۱۵: وزن های اختصاص یافته توسط الگوریتم DLSVQ و صحت کلاس بندی در سه حالت بردارهای مرجع اولیه برای فرد 'ay'	۷۸
جدول ۱۶: وزن های اختصاص یافته توسط این روش به ویژگی ها در تک تک زیرباندها	۸۰
جدول ۱۷: صحت کلاس بندی داده ها با ترکیب دو به دوی زیرباندهای مختلف برای فرد 'aa'. ردیف اول با اعمال روش DLSVQ به زیرباندها و ردیف دوم بدون اعمال روش DLSVQ به زیرباندها	۸۱
جدول ۱۸: مقایسه صحت کلاس بندی داده ها در زیرباندهای منتخب برای تمام افراد بدون اعمال الگوریتم DLSVQ و همراه با اعمال این الگوریتم	۸۱
جدول ۱۹: نرخ یادگیری بردارهای مرجع (α), نرخ یادگیری وزن ها (β), میزان کاهش آنها در هر تکرار و تعداد بردارهای مرجع انتخاب شده برای هر فرد	۸۲
جدول ۲۰: تعداد بردارهای پشتیبان برای هر فرد در الگوریتم SVM	۸۵
جدول ۲۱: مقایسه صحت کلاس بندی داده ها در زیرباندهای منتخب برای تمام افراد بدون اعمال الگوریتم DLSVQ و همراه با اعمال این الگوریتم	۸۷

جدول ۲۲: مقایسه خطای کلاس بندی حاصل از روش های مختلف انتخاب زیرباند در روش CSP

۸۸

فصل اول : مقدمه

در این فصل در نظر داریم خواننده را با فضای کلی موضوع مورد تحقیق آشنا سازیم. بدین منظور پس از بیان مسئله، ضرورت انجام این تحقیق و فصول این پایان نامه معرفی خواهند شد.

۱-۱- بیان مسئله

جنبه‌های شناختی فعالیت مغز، همواره از جذاب‌ترین زمینه‌های مطالعاتی در بسیاری از شاخه‌های علوم مرتبط با مغز بوده و تحقیقات زیادی برای تشخیص نحوه فعالیت مغز در کارهای شناختی انسان انجام گرفته است. در بین روش‌های مختلفی که برای اطلاع از نحوه عملکرد سیستم مغز وجود دارد، سیگنال‌های الکتریکی مغز یعنی EEG^۱ و ERP^۲‌ها، به دلیل غیر تهاجمی بودن، در دسترس بودن و دقت تفکیک زمانی مناسب، مورد توجه خاص قرار دارند.

¹ Electro Encephalo Gram

² Event Related Potential

یکی از موضوعات مورد مطالعه در جهان در زمینه علوم شناختی، بررسی و تحقیق در خصوص کشف ارتباط بین سیگنال‌های الکتریکی مغزی با فعالیت‌های مختلف مغزی است. در این حوزه، تلاش‌هایی جهت یافتن ارتباط حافظه با سیگنال‌های الکتریکی مغز به طور ویژه، انجام گرفته است.

هدف از انجام پروژه حاضر بررسی ارتباط آسنکرون شدن وابسته به رویداد با تصور حرکات مختلف به منظور تمایز بین آنها است. جهت تحقیق این امر، به تحلیل و بررسی آسنکرون شدن وابسته به رویداد ثبت شده در پاسخ به تصور حرکت پرداخته و برای این تحلیل، از روش الگوهای مکانی مشترک بهره گرفته شده است. به طوری که از سیگنال‌های ERD که در پاسخ به تحریک تصور حرکت ظاهر می‌شوند، ویژگی‌هایی در حوزه زمان استخراج شده و این ویژگی‌ها از جهت این که تا چه میزان قادر به تفکیک تصور حرکت صورت گرفته هستند، مورد بررسی قرار گرفته‌اند. سپس با کلاس بندی ویژگی‌هایی که بیشترین اختلاف معنی‌دار را بین دو تحریک تصور حرکت داشته‌اند، به استخراج نتایج و بحث و نتیجه‌گیری در مورد روش الگوهای مکانی مشترک‌در تمایز بین دو تصور حرکت مختلف پرداخته شده است.

۱-۱- ضرورت انجام پایان نامه

بررسی عملکرد مغز در حالت‌های مختلف، همواره مورد علاقه محققین علوم شناختی بوده است. یکی از این حالت‌ها، بررسی تفاوت عملکرد مغز در دو حالت مختلف از تصور حرکت است. تشخیص دو حالت مذکور، به ما کمک می‌نماید که برای ارتباط افراد معلول با کامپیوتر استفاده کنیم.

با روش‌های مختلف پردازشی، نگاه ما به سیگنال متفاوت است و هدف، بررسی سیگنال به گونه‌ای است که به مهم‌ترین اطلاعات سیگنال در حوزه شناختی دست یابیم. با توجه به مطالعات انجام شده، انتظار می‌رود که استفاده از ابزارهای پردازشی مناسب بتواند دستاوردهای قابل توجهی داشته باشد.

۲-۱- ساختار پایان نامه

این گزارش در ۵ فصل تنظیم شده است که طی آنها تلاش می‌شود پس از بیان پایه‌های تئوریک مسئله، به روش ارائه شده در این تحقیق برای بهبود عملکرد این روش پرداخته شده، نهایتاً نتایج حاصل از این روش بررسی شود. بدین منظور:

فصل دوم به بیان مفاهیم اولیه در خصوص سیگنال الکتروانسفالوگرام، پتانسیل‌های وابسته به رخداد و ارتباط انسان - کامپیوتر می‌پردازد.

فصل سوم به معرفی اصول الگوریتم الگوهای مکانی متداول، الگوریتم SVM ، الگوریتم DSLVQ می پردازد.

فصل چهارم پس از معرفی دادگان، نتایج حاصل از روش های پردازشی معرفی شده در این تحقیق بر روی این دادگان مورد بررسی قرار خواهد گرفت.

فصل پنجم نتیجه گیری از نتایج حاصل و مقایسه آن با نتایج دیگر روش ها و پیشنهاداتی برای ادامه کار بیان خواهد شد.

فصل دوم : مقدمه ای بر سیگنال های مغزی و ارتباط انسان - کامپیوتر

در این فصل در نظر داریم، ابتدا مفاهیم اولیه بکاربرده شده در این تحقیق را بیان نماییم. به این منظور زیر بخش های ۱-۲، ۲-۲ و ۳-۲ به ترتیب با عنوانین الکتروانسفالوگرام، پتانسیل های وابسته به رخداد و ارتباط انسان - کامپیوتر مطرح خواهند شد که خواننده را با فضای کلی بحث آشنا خواهند کرد.

۱-۲- الکتروانسفالوگرام (EEG)

یکی از ساده‌ترین خروجی‌های سیستم مغزی سیگنال EEG است. مطالعه بر روی منشاء این سیگنال و نحوه تولید آن، در کاربرد آن تأثیر زیادی دارد و دانستن عوامل مؤثر در تولید EEG راه‌گشای مناسبی برای استفاده از آن در تشخیص عملکرد و حالت مغز است.

در این قسمت ابتدا تاریخچه الکتروانسفالوگرافی و منشاء سیگنال EEG بیان می‌شود و در ادامه ریتم‌های مختلف این سیگنال، مورد بررسی قرار خواهد گرفت.

۱-۱-۲- تاریخچه الکتروانسفالوگرافی

در سال ۱۸۷۵، Richard Caton نتایج ثبت سیگنال مغزی از خرگوش و میمون را با کمک یک الکترود سوزنی از سطح کورتکس مغز به ثبت رساند [۱]. او برای این کار از یک گالوانومتر که قبلاً توسط Lord Kelvin ساخته شده بود استفاده کرد [۲]. در سال ۱۸۸۷ در نهمین کنگره بین المللی پزشکی در واشنگتن، Caton گزارشی از نتایج ثبت فعالیت الکتریکی مغز حیوانات در اثر اعمال ناگهانی تحریک بینایی، ارائه داده و پتانسیلی با پلاریته مخالف در زمان قطع تحریک ثبت نموده بود [۳]. Marcow در سال ۱۸۸۳ نتایج مشابه با آنچه Caton کشف کرده بود به ثبت رساند.

یک دانشمند روسی به نام Danielovsky تجربیات مشابه خود را در سال ۱۸۷۷ یعنی دو سال بعد از Caton در رساله دکترای خود ارائه نموده بود [۴]. کار این دانشمند زمینه‌ساز یکی از مهم‌ترین و پراستفاده‌ترین کاربردهای سیگنال‌های مغزی یعنی پتانسیل‌های برانگیخته EP^۱ شد.

می‌توان Hans Berger را مبدع الکتروانسفالوگرافی کنونی دانست چرا که او نخستین ثبت EEG را از انسان بعمل آورده است [۳]. او پس از جنگ جهانی اول برای ثبت EEG از انسان تلاش خود را آغاز کرد تا اینکه در سال ۱۹۲۰ نخستین ثبت خود را از سطح جمجمه در حد فاصل ناحیه‌ای که استخوان‌های جمجمه به هم متصل می‌شوند، انجام داد. وی نخستین موج مغزی ثبت شده با فرکانس ۱۵ سیکل بر ثانیه را "alfa" اعلام و نامگذاری کرد.

Berger مقاله خود را در سال ۱۹۲۹ منتشر نمود. وی تا آن هنگام ۷۳ ثبت را که نخستین ثبت‌های EEG به حساب می‌آیند انجام داده بود. در این مقاله وی بهترین محل برای ثبت سیگنال مغزی را یک الکترود در ناحیه پس‌سری^۲ و یک الکترود در ناحیه پیشانی به عنوان مرجع اعلام کرد. وی در این مقاله امواج "alfa" و "beta" را معرفی و دامنه آن‌ها را تا ۲۰۰ میکرو ولت اعلام کرد. یک سال بعد از این مقاله، ۱۱۳۲ ثبت را از ۷۶ سوژه انجام داد و در مقاله بعدی خود امواج "alfa" و "beta" را نام نهاده و امواج "beta" را ناشی از فعالیت مغزی و تمرکز ذهنی دانست. در سال ۱۹۳۱ م. امواج "alfa" را در مقاله دیگری دقیق‌تر معرفی نمود و اعلام کرد که این امواج در موقع خواب، بیهوشی و تحریکات با کوکائین مشاهده می‌شوند. موضوع قابل توجه در تحقیقات بعدی او دامنه‌های بزرگ^۳ امواج مغزی در بیماران مبتلا به صرع بود. هم‌چنین وی تأثیرات آلزایمر و

¹ Evoked Potentials

² occipital

³ spike

اسکلروسیس را روی سیگنال EEG مورد بررسی قرار داد. Berger همچنین برخی بیماری‌های روانی و ارتباط آن‌ها را با امواج مغزی مورد مطالعه قرار داد.

Carl Zeiss اختراع جدید خود را که تقویت‌کننده‌های حساس الکترونیکی بودند در اختیار Berger قرار داد و او با کمک این تجهیزات حساس نشان داد که پس از حمله صرع امواج مغزی بیمار تقریباً مسطح شده و کم کم با بازگشت هوشیاری امواج "آلفا" ظاهر می‌شوند. همچنین نشان داد که امواج مغزی از سن حدود دو ماهگی کم کم قبل مشاهده‌اند و این زمانی است که سلول‌های عصبی با میلین پوشیده می‌شوند.

تا سال‌های زیادی تحقیقات Berger توسط جامعه علمی آن زمان نادیده گرفته می‌شد که بیشتر به دلیل به بیراهه کشیدن تحقیقات و شکل و شمایل تصادفی و آشوبگون سیگنال مغزی بود. اما در سال ۱۹۳۴ Edgar BHC Matheus Adrian و Berger در دانشگاه کمبریج صحه گذاشتند و در نشریه Brain نتایج تحقیقات خود را ارائه دادند که مرجع آن‌ها مقالات Berger بود[۵].

۲-۱-۲- منشأ سیگنال

فعالیت الکتریکی مغز که از سطح کاسه سر ثبت شده والکتروانسفالوگرام نام دارد، توسط ۵۰ میلیارد سلول عصبی یا نورون به وجود می‌آید[۶]. سیستم عصبی مرکزی از دو گروه سلول بنام سلول‌های عصبی و سلول‌های گلایا تشکیل شده‌است. دو دسته سیستم ارتباطی برای انتقال پیام بین سلول‌های عصبی مرکزی وجود دارد. دندریت‌ها^۱ و آکسون‌ها^۲ وظیفه دریافت و انتقال پیام را به سلول‌های مجاور و ارگان‌های دیگر بر عهده دارند و محل اتصال دو سلول یعنی تماس آکسون به دندریت سیناپس نامیده می‌شود[۷].

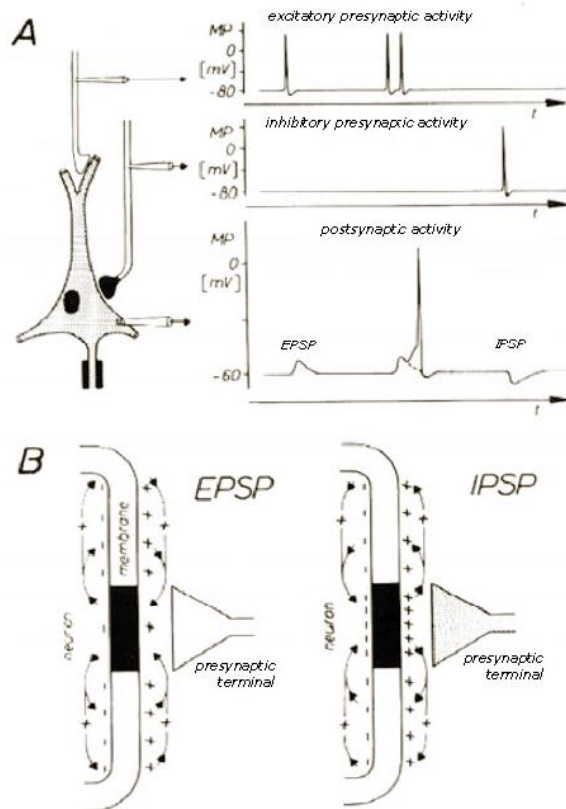
سلول‌های گلایا بین بدنه سلول‌های عصبی و دندریت‌ها و آکسون‌ها جای گرفته‌اند. این سلول‌ها معمولاً پردازش‌های بسیاری را در ارتباط با بدنه و فعالیت سلول‌های عصبی انجام می‌دهند. این سلول‌ها همچنین با رگ‌های خونی در ارتباط می‌باشند. فعالیت الکتریکی یک سلول عصبی از دو دیدگاه مورد تحلیل و اندازه‌گیری قرار گرفته است: پتانسیل‌های داخلی سلولی و پتانسیل‌های خارج سلولی.

استفاده از یک میکروالکترود که از طریق غشا به فضای داخل بدنه سلول عصبی وارد می‌شود، بیانگر اختلاف پتانسیل حدود ۶۰ تا ۷۰ میلیولت با پلاریته منفی برای فضای داخل سلول عصبی نسبت به خارج آن می‌باشد. این پتانسیل غشا حاصل نوسات یونی فراوانی است که در اثر تحریکات سیناپسی ایجاد می‌شود[۸].

¹ dendrites

² axons

شکل ۱ جزئیات دقیق تری را به تصویر می کشد که در ادامه به صورت مختصر به توضیح آنها پرداخته می شود.



شکل ۱: نحوه اثر پتانسیل های پیش سیناپسی در پتانسیل پس سیناپسی (شکل A) و چگونگی جابجایی یونی آن (شکل B)

حرکت پتانسیل عمل در سلول قبلی و پیش از رسیدن به محل سیناپس با کمک یک میکروالکترود اندازه گیری شده است. اگر یک پتانسیل عمل در مسیر فیبر عصبی در حال حرکت باشد با رسیدن این پتانسیل عمل به محل سیناپس یک "پتانسیل تحریکی پس سیناپسی" یا EPSP^۱ در نورون بعدی ایجاد می شود [46]. اگر دو پتانسیل عمل در فیبر عصبی با فاصله زمانی کم اعمال شوند، برآیند و جمع آن دو در سیناپس آتش خواهد شد. اگر پتانسیل عمل در فیبر عصبی ای که به یک سیناپس متوقف کننده منتهی می شود برسد، هایپرپلاریزاسیون ایجاد شده و یک "پتانسیل توقف پس سیناپسی" یا IPSP^۲ تولید می شود.

شکل ۱ جزئیات انتشار و تولید این پتانسیل ها را نشان می دهد.

¹ Excitatory Post Synaptic Potential

² Inhibitory Post Synaptic Potential

از آنجا که پتانسیل تحریک پس‌سیناپسی موجب نوسان‌های بسیاری در پتانسیل غشاء سلولی و نیز تغییرات غلظت یون‌ها می‌گردد، مهم‌ترین منشاء تولید پتانسیل‌های میدانی خارج سلولی شناخته شده‌است. با وجود آمدن یک فعالیت پتانسیل تحریکی پس‌سیناپس (EPSP) در غشای منطقه سیناپس، جریانی از کاتیون‌ها پدید می‌آید که موجب دپلاریزاسیون غشاء منطقه سیناپس می‌گردد. همان‌گونه که در نیز مشاهده می‌شود، گرادیان این پتانسیل هم در منطقه داخل سلولی و هم در منطقه خارج سلولی رشد یافته و منتشر می‌شود. به این ترتیب کاتیون‌ها در راستای جهت منطقه سیناپسی از خارج سلول به گردش می‌افتدند. در جهت خلاف نیز در منطقه داخل سلولی جریانی پدید می‌آید. با تولید یک پتانسیل توقف پس‌سیناپسی (IPSP)، جریانی از کاتیون‌ها به خارج سلول و یا جریانی از آنیون‌ها به داخل سلول پدید می‌آید که پتانسیل غشاً را در منطقه سیناپسی نسبت به سایر نواحی افزایش می‌دهد. به این ترتیب جریانهایی عکس را در مناطق داخل و خارج سلولی ایجاد می‌کند که در نشان داده شده‌است.

سلول‌های گلایا در تولید پتانسیل‌های میدانی خارج سلولی نیز نقشی دارند. اگر یک میکروالکترود به بدنه این سلول وارد شود، پتانسیل غشایی با پلاریته مشابه با پلاریته پتانسیل غشایی سلول عصبی اندازه‌گیری می‌شود. اندازه این پتانسیل یا پتانسیل تعادل یون پتانسیل (k^+) تقریباً برابر است و لذا تا حدی از پتانسیل غشای سلول عصبی بزرگتر است. در مقایسه با سلول‌های عصبی، سلول‌های گلایا هیچ‌گونه پتانسیل عملی از خود نشان نمی‌دهند و لذا پتانسیل پس‌سیناپسی مشاهده نمی‌شود. اما پتانسیل غشاء سلول‌ها ثابت نیست. تغییر تجمع و غلظت یون‌های پتانسیم خارج سلولی می‌تواند موجب دپلاریزاسیون سلول‌های گلایا شود و این در حالی است که تغییر غلظت سایر یون‌ها تغییر قابل توجهی در پتانسیل غشای گلایا ایجاد نمی‌کند و لذا می‌توان سلول‌های گلایا را با الکترودهای پتانسیم مقایسه کرد.

وابستگی پتانسیل غشاء گلایا به غلظت یون پتانسیم دلیل پیوند عملیاتی این سلول‌ها با ساختارهای عصبی همسایه‌شان می‌باشد. فعالیت نورون‌ها با خروج یون‌های پتانسیم به فضای خارج سلولی همراه است و آتش‌شدن هر نورون با افزایش غلظت یون پتانسیم و در نتیجه دیپلاریزاسیون سلول‌های گلایایی مجاور همراه است. در صورتی که میزان تغییر غلظت یون پتانسیم در کل غشاء گلایا زیاد نباشد و به صورت محلی اتفاق افتد، جریانهایی مشابه با جریان‌های حاصل از حرکت کاتیون‌ها در سلول‌های عصبی پدید می‌آید که نقش قابل توجهی در تولید پتانسیل الکتریکی (میدانی) خارج سلولی دارد. سلول‌های گلایا با یکدیگر تماس نزدیکی دارند و دارای عملکرد پردازشی وسیعی می‌باشد که به‌طور لحظه‌ای انجام می‌پذیرد و با توجه به